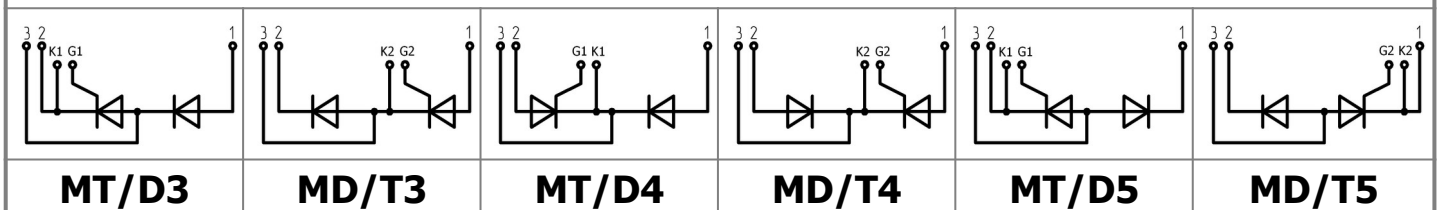
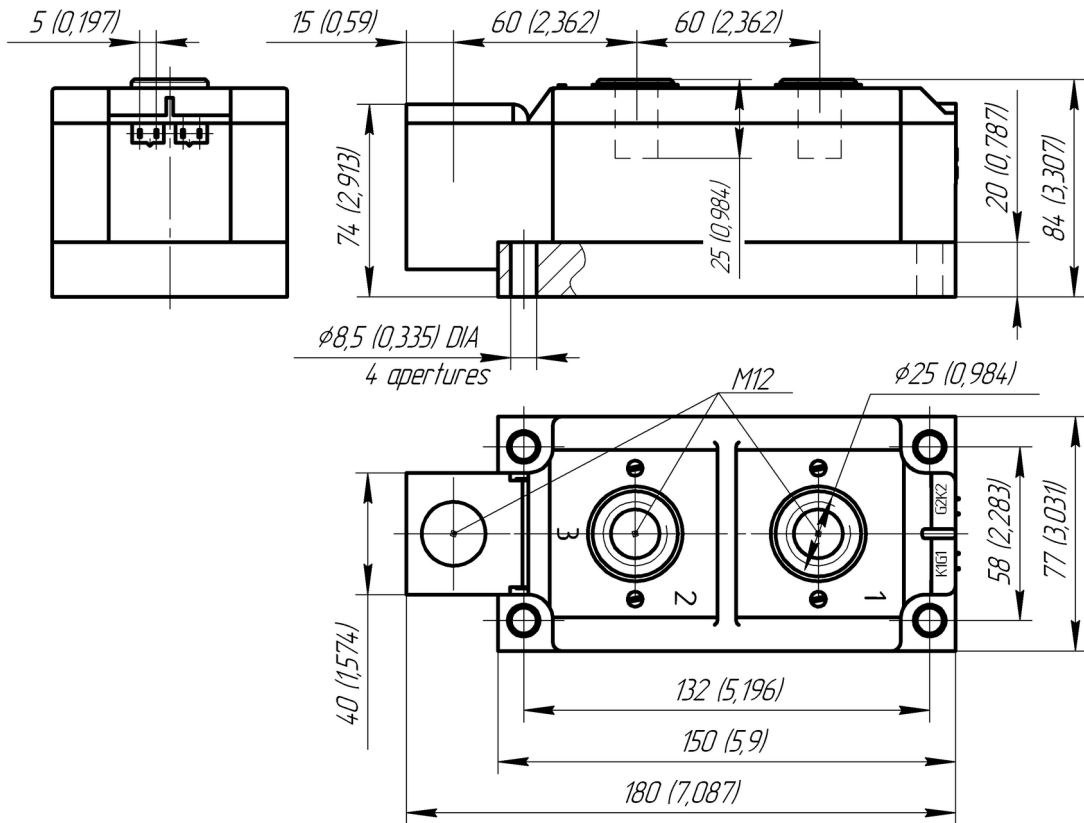
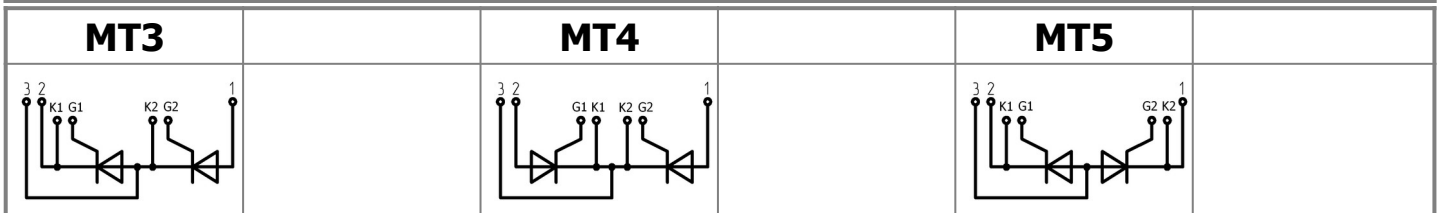




Изолированное основание
 Корпус промышленного стандарта
 Упрощенная механическая конструкция,
 быстрая сборка
 Прижимная конструкция

Двухпозиционный Тиристорный Модуль МТх-500-36-D

Средний прямой ток			I_{TAV}	500 A
Повторяющееся импульсное напряжение в закрытом состоянии			U_{DRM}	3000...3600 В
Повторяющееся импульсное обратное напряжение			U_{RRM}	
Время выключения			t_q	400 мкс
$U_{DRM}, U_{RRM}, В$	3000	3200	3400	3600
Класс по напряжению	30	32	34	36
$T_j, °C$	-40...+125			




ПРЕДЕЛЬНО ДОПУСТИМЫЕ ЗНАЧЕНИЯ ПАРАМЕТРОВ

Обозначение и наименование параметра		Ед. изм.	Значение	Условия измерения	
Параметры в проводящем состоянии					
I_{TAV}	Максимально допустимый средний ток в открытом состоянии	А	500	$T_c = 85\text{ }^\circ\text{C}$; 180 эл. град. синус; 50 Гц	
I_{TRMS}	Действующий ток в открытом состоянии	А	785		
I_{TSM}	Ударный ток в открытом состоянии	кА	18.0 21.0	$T_j = T_{j\max}$ $T_j = 25\text{ }^\circ\text{C}$	180 эл. град. синус; $t_p = 10\text{ мс}$; единичный импульс; $U_D = U_R = 0\text{ В}$; Импульс управления: $I_G = 2\text{ А}$; $t_{GP} = 50\text{ мкс}$; $di_G/dt \geq 1\text{ А/мкс}$
			19.0 22.0	$T_j = T_{j\max}$ $T_j = 25\text{ }^\circ\text{C}$	180 эл. град. синус; $t_p = 8.3\text{ мс}$; единичный импульс; $U_D = U_R = 0\text{ В}$; Импульс управления: $I_G = 2\text{ А}$; $t_{GP} = 50\text{ мкс}$; $di_G/dt \geq 1\text{ А/мкс}$
I^2t	Защитный показатель	$A^2c \cdot 10^3$	1600 2200	$T_j = T_{j\max}$ $T_j = 25\text{ }^\circ\text{C}$	180 эл. град. синус; $t_p = 10\text{ мс}$; единичный импульс; $U_D = U_R = 0\text{ В}$; Импульс управления: $I_G = 2\text{ А}$; $t_{GP} = 50\text{ мкс}$; $di_G/dt \geq 1\text{ А/мкс}$
			1400 2000	$T_j = T_{j\max}$ $T_j = 25\text{ }^\circ\text{C}$	180 эл. град. синус; $t_p = 8.3\text{ мс}$; единичный импульс; $U_D = U_R = 0\text{ В}$; Импульс управления: $I_G = 2\text{ А}$; $t_{GP} = 50\text{ мкс}$; $di_G/dt \geq 1\text{ А/мкс}$
Блокирующие параметры					
U_{DRM}, U_{RRM}	Повторяющееся импульсное обратное напряжение и повторяющееся импульсное напряжение в закрытом состоянии	В	3000...3600	$T_{j\min} < T_j < T_{j\max}$; 180 эл. град. синус; 50 Гц; управление разомкнуто	
U_{DSM}, U_{RSM}	Неповторяющееся импульсное обратное напряжение и неповторяющееся импульсное напряжение в закрытом состоянии	В	3100...3700	$T_{j\min} < T_j < T_{j\max}$; 180 эл. град. синус; единичный импульс; управление разомкнуто	
U_D, U_R	Постоянное обратное и постоянное прямое напряжение	В	$0.6 \cdot U_{DRM}$ $0.6 \cdot U_{RRM}$	$T_j = T_{j\max}$; управление разомкнуто	
Параметры управления					
I_{FGM}	Максимальный прямой ток управления	А	8	$T_j = T_{j\max}$	
U_{RGM}	Максимальное обратное напряжение управления	В	5		
P_G	Максимальная рассеиваемая мощность по управлению	Вт	4	$T_j = T_{j\max}$ для постоянного тока управления	
Параметры переключения					
$(di_T/dt)_{crit}$	Критическая скорость нарастания тока в открытом состоянии ($f=1\text{ Hz}$)	А/мкс	400	$T_j = T_{j\max}$; $U_D = 0.67 \cdot U_{DRM}$; $I_{TM} = 2 I_{TAV}$; Импульс управления: $I_G = 2\text{ А}$; $t_{GP} = 50\text{ мкс}$; $di_G/dt \geq 2\text{ А/мкс}$	
Тепловые параметры					
T_{stg}	Температура хранения	$^\circ\text{C}$	-40...+50		
T_j	Температура р-п перехода	$^\circ\text{C}$	-40...+125		
$T_{c\text{ op}}$	Рабочая температура корпуса	$^\circ\text{C}$	-40...+125		
Механические параметры					
a	Ускорение	м/с ²	50		

ХАРАКТЕРИСТИКИ

Обозначение и наименование характеристики		Ед. изм.	Значение	Условия измерения	
Характеристики в проводящем состоянии					
U_{TM}	Импульсное напряжение в открытом состоянии, макс	В	1.85	$T_j=25\text{ °C}; I_{TM}=1570\text{ A}$	
$U_{T(ТО)}$	Пороговое напряжение, макс	В	1.10	$T_j=T_{j\text{ max}};$ $0.5 \pi I_{TAV} < I_T < 1.5 \pi I_{TAV}$	
r_T	Динамическое сопротивление в открытом состоянии, макс	МОм	0.400		
I_L	Ток включения, макс	мА	1500	$T_j=25\text{ °C}; U_D=12\text{ В};$ Импульс управления: $I_G=2\text{ A};$ $t_{GP}=50\text{ мкс}; di_G/dt \geq 1\text{ А/мкс}$	
I_H	Ток удержания, макс	мА	300	$T_j=25\text{ °C};$ $U_D=12\text{ В};$ управление разомкнуто	
Блокирующие характеристики					
I_{DRM}, I_{RRM}	Повторяющийся импульсный обратный ток и повторяющийся импульсный ток в закрытом состоянии, макс	мА	250 4.00	$T_j=T_{j\text{ max}}$ $T_j=25\text{ °C}$	$U_D=U_{DRM}; U_R=U_{RRM}$
$(du_D/dt)_{crit}$	Критическая скорость нарастания напряжения в закрытом состоянии ¹⁾ , мин	В/мкс	1000	$T_j=T_{j\text{ max}};$ $U_D=0.67 \cdot U_{DRM};$ управление разомкнуто	
Характеристики управления					
U_{GT}	Отпирающее постоянное напряжение управления, макс	В	4.00 2.50 2.00	$T_j=T_{j\text{ min}}$ $T_j=25\text{ °C}$ $T_j=T_{j\text{ max}}$	$U_D=12\text{ В}; I_D=3\text{ A};$ Постоянный ток управления
I_{GT}	Отпирающий постоянный ток управления, макс	мА	500 300 200	$T_j=T_{j\text{ min}}$ $T_j=25\text{ °C}$ $T_j=T_{j\text{ max}}$	
U_{GD}	Неотпирающее постоянное напряжение управления, мин	В	0.35	$T_j=T_{j\text{ max}};$ $U_D=0.67 \cdot U_{DRM};$	
I_{GD}	Неотпирающий постоянный ток управления, мин	мА	15.00	Постоянный ток управления	
Динамические характеристики					
t_{gd}	Время задержки, макс	мкс	3.00	$T_j=25\text{ °C}; U_D=1500\text{ В}; I_{TM}=I_{TAV};$ $di/dt=200\text{ А/мкс};$ Импульс управления: $I_G=2\text{ A}; U_G=20\text{ В};$ $t_{GP}=50\text{ мкс}; di_G/dt=2\text{ А/мкс}$	
t_q	Время выключения ²⁾ , макс	мкс	400	$du_D/dt=50\text{ В/мкс}; T_j=T_{j\text{ max}}; I_{TM}=I_{TAV};$ $di_R/dt=-10\text{ А/мкс}; U_R=100\text{ В};$ $U_D=0.67 U_{DRM};$	
Q_{rr}	Заряд обратного восстановления, макс	мкКл	3000	$T_j=T_{j\text{ max}}; I_{TM}=500\text{ A};$ $di_R/dt=-5\text{ А/мкс};$ $U_R=100\text{ В}$	
t_{rr}	Время обратного восстановления, макс	мкс	50		
I_{rr}	Обратный ток восстановления, макс	А	120		
Тепловые характеристики					
R_{thjc}	Тепловое сопротивление р-п переход-корпус, макс	на модуль	°C/Вт	0.0250	180 эл. град. синус; 50 Гц
		на позицию	°C/Вт	0.0500	
R_{thch}	Тепловое сопротивление корпус-охладитель, макс	на модуль	°C/Вт	0.0080	
		на позицию	°C/Вт	0.0160	

Характеристики изоляции																																							
U _{ISOL}	Электрическая прочность изоляции	кВ	3.00	синус; 50 Гц; действующее значение	t=60 с																																		
			3.60		t=1 с																																		
Механические характеристики																																							
M ₁	Момент затяжки основания (M8) ³⁾	Нм	9.00	Допуск ± 15%																																			
M ₂	Момент затяжки выводов (M12) ³⁾	Нм	18.00	Допуск ± 15%																																			
m	Масса, макс	г	4100																																				
МАРКИРОВКА			ПРИМЕЧАНИЕ																																				
<table border="1"> <tr> <td>MT</td><td>3</td><td>-</td><td>500</td><td>-</td><td>36</td><td>-</td><td>A2</td><td>H2</td><td>-</td><td>D</td><td>-</td><td>Y2</td> </tr> <tr> <td>1</td><td>2</td><td></td><td>3</td><td></td><td>4</td><td></td><td>5</td><td>6</td><td></td><td>7</td><td></td><td>8</td> </tr> </table>			MT	3	-	500	-	36	-	A2	H2	-	D	-	Y2	1	2		3		4		5	6		7		8	<p>1) Критическая скорость нарастания напряжения в закрытом состоянии</p> <table border="1"> <tr> <td>Обозначение группы</td> <td>A2</td> </tr> <tr> <td>(du_D/dt)_{crit}, В/мкс</td> <td>1000</td> </tr> </table> <p>2) Время выключения (du_D/dt=50 В/мкс)</p> <table border="1"> <tr> <td>Обозначение группы</td> <td>H2</td> </tr> <tr> <td>t_q, мкс</td> <td>400</td> </tr> </table> <p>3) Резьба должна быть смазана</p>			Обозначение группы	A2	(du _D /dt) _{crit} , В/мкс	1000	Обозначение группы	H2	t _q , мкс	400
MT	3	-	500	-	36	-	A2	H2	-	D	-	Y2																											
1	2		3		4		5	6		7		8																											
Обозначение группы	A2																																						
(du _D /dt) _{crit} , В/мкс	1000																																						
Обозначение группы	H2																																						
t _q , мкс	400																																						
			Сертифицирован UL, файл № E255404																																				

Содержащаяся здесь информация является конфиденциальной и находится под защитой авторских прав. В интересах улучшения качества продукции, АО «Протон-Электротекс» оставляет за собой право изменять информационные листы без уведомления.

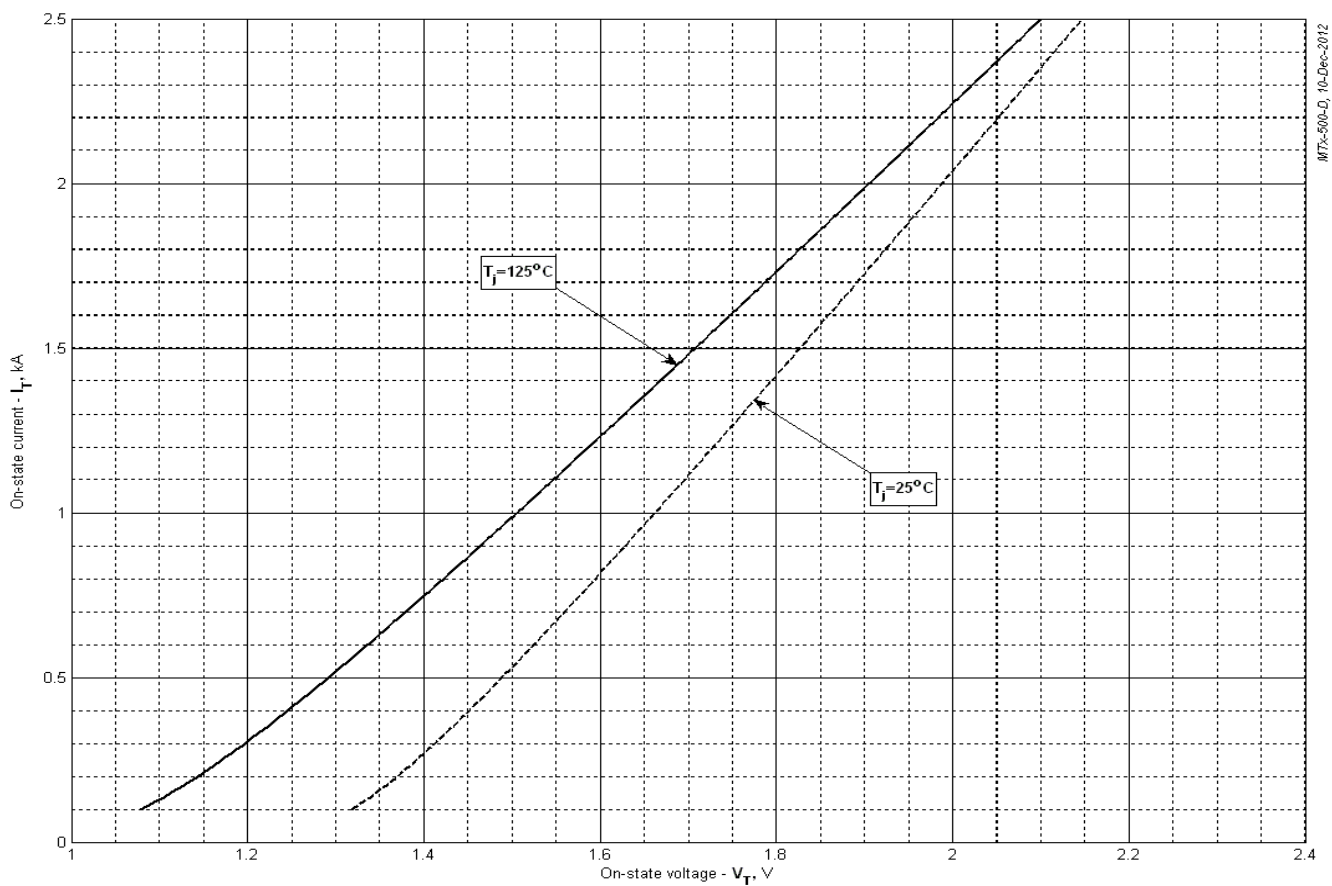


Рис. 1 – Предельная вольт – амперная характеристика

Аналитическая функция предельной вольт — амперной характеристики:

$$V_T = A + B \cdot i_T + C \cdot \ln(i_T + 1) + D \cdot \sqrt{i_T}$$

	Coefficients for max curves	
	$T_j = 25^\circ\text{C}$	$T_j = T_{j \max}$
A	1.220125	0.950657
B	0.274732	0.331576
C	-0.155055	-0.207087
D	0.274763	0.366965

Модель предельной вольт – амперной характеристики (см. Рис. 1).

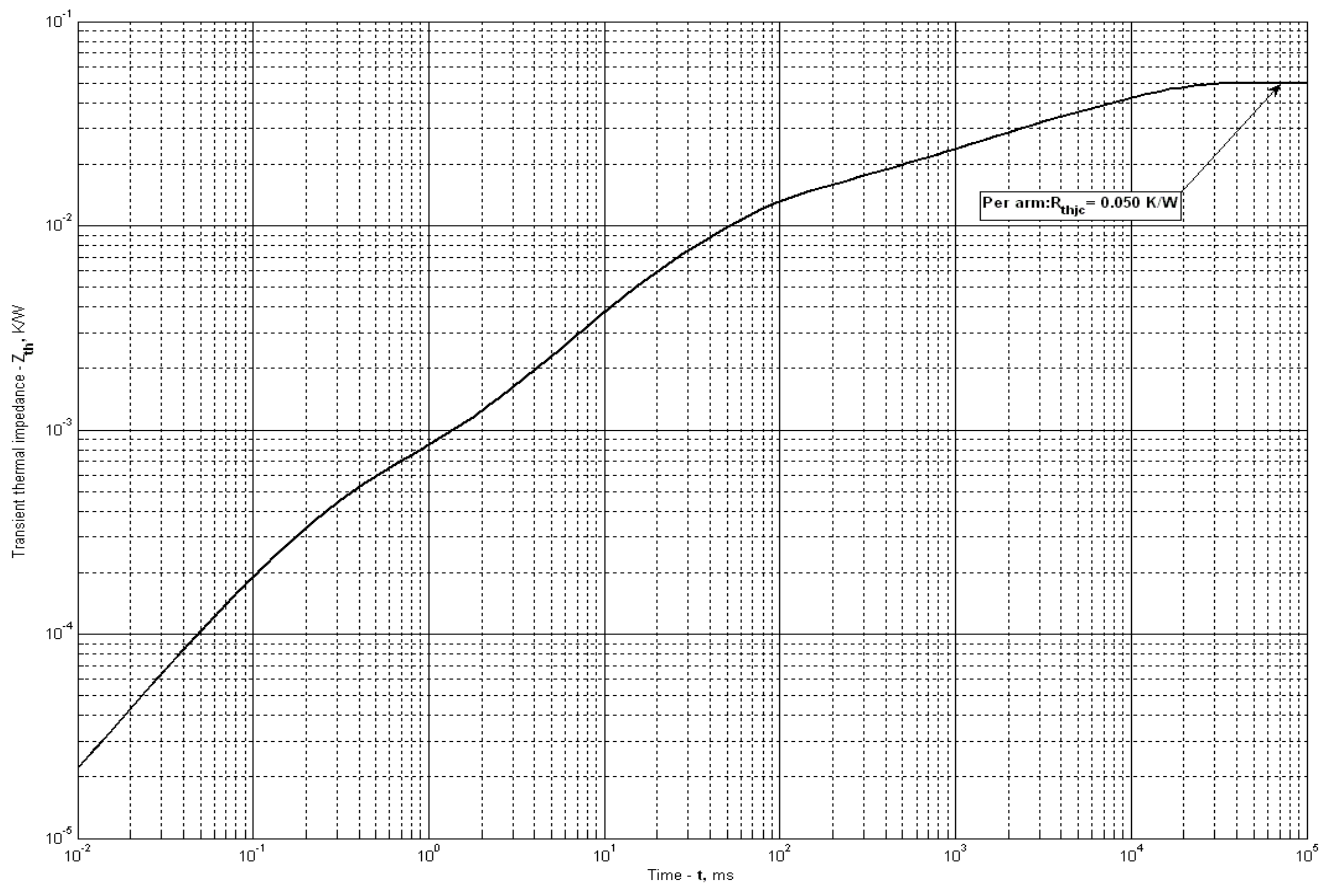


Рис. 2 – Переходное тепловое сопротивление

Аналитическая зависимость переходного теплового сопротивления переход — корпус:

$$Z_{thjc} = \sum_{i=1}^n R_i \left(1 - e^{-\frac{t}{\tau_i}} \right)$$

Где $i = 1$ to n , n – число суммирующихся элементов.

t = продолжительность импульсного нагрева в секундах.

Z_{thjc} = Тепловое сопротивление за время t .

R_i, τ_i = расчетные коэффициенты, приведенные в таблице.

i	1	2	3	4	5	6
R_i, K/W	0.02506	0.009643	0.00348	0.009712	0.001719	0.0004399
τ_i, s	8.474	1.110	0.2289	0.04529	0.009524	0.0002414

Модель переходного теплового сопротивления переход - корпус (см. Рис. 2)

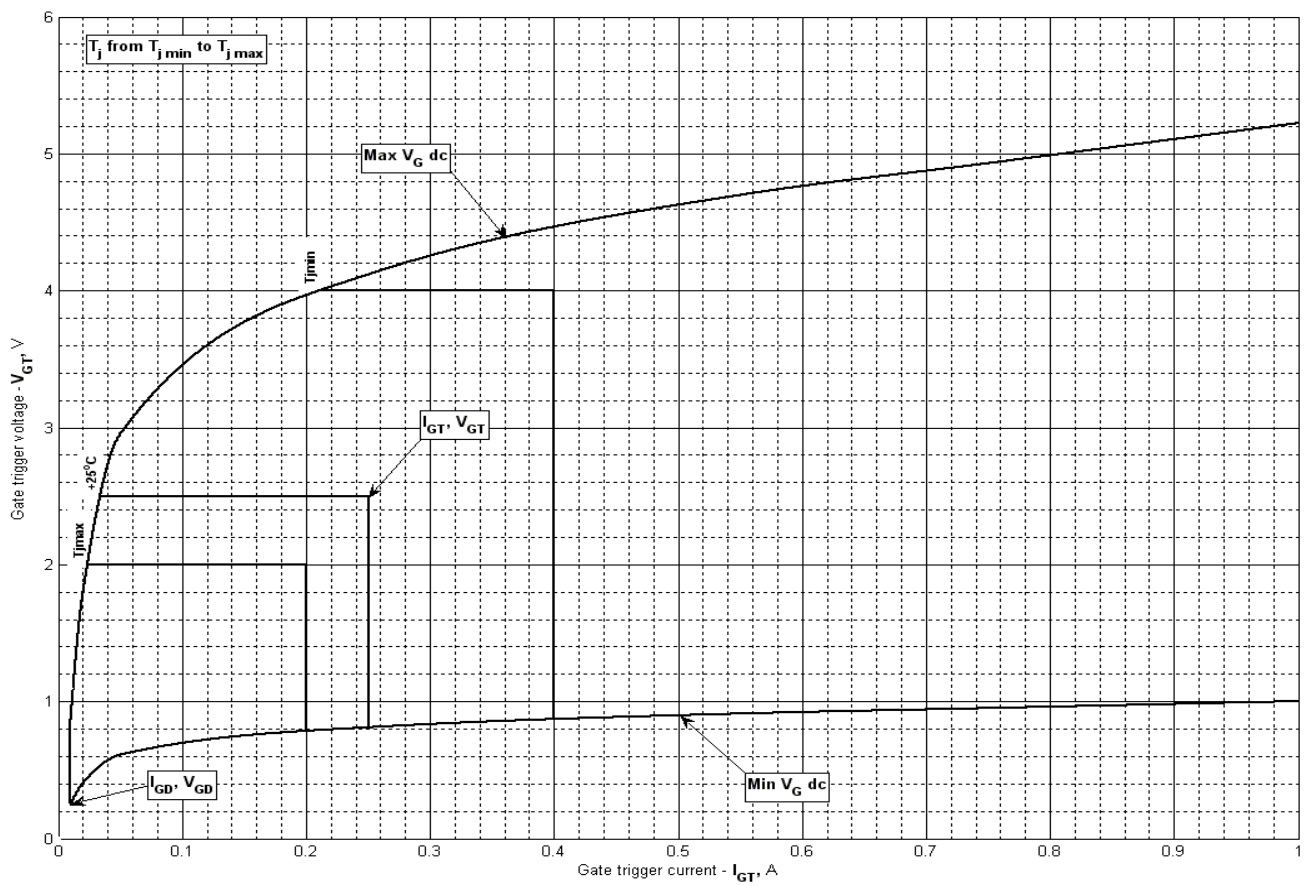


Рис. 3 – Вольт – амперная характеристика цепи управления – границы переключения.

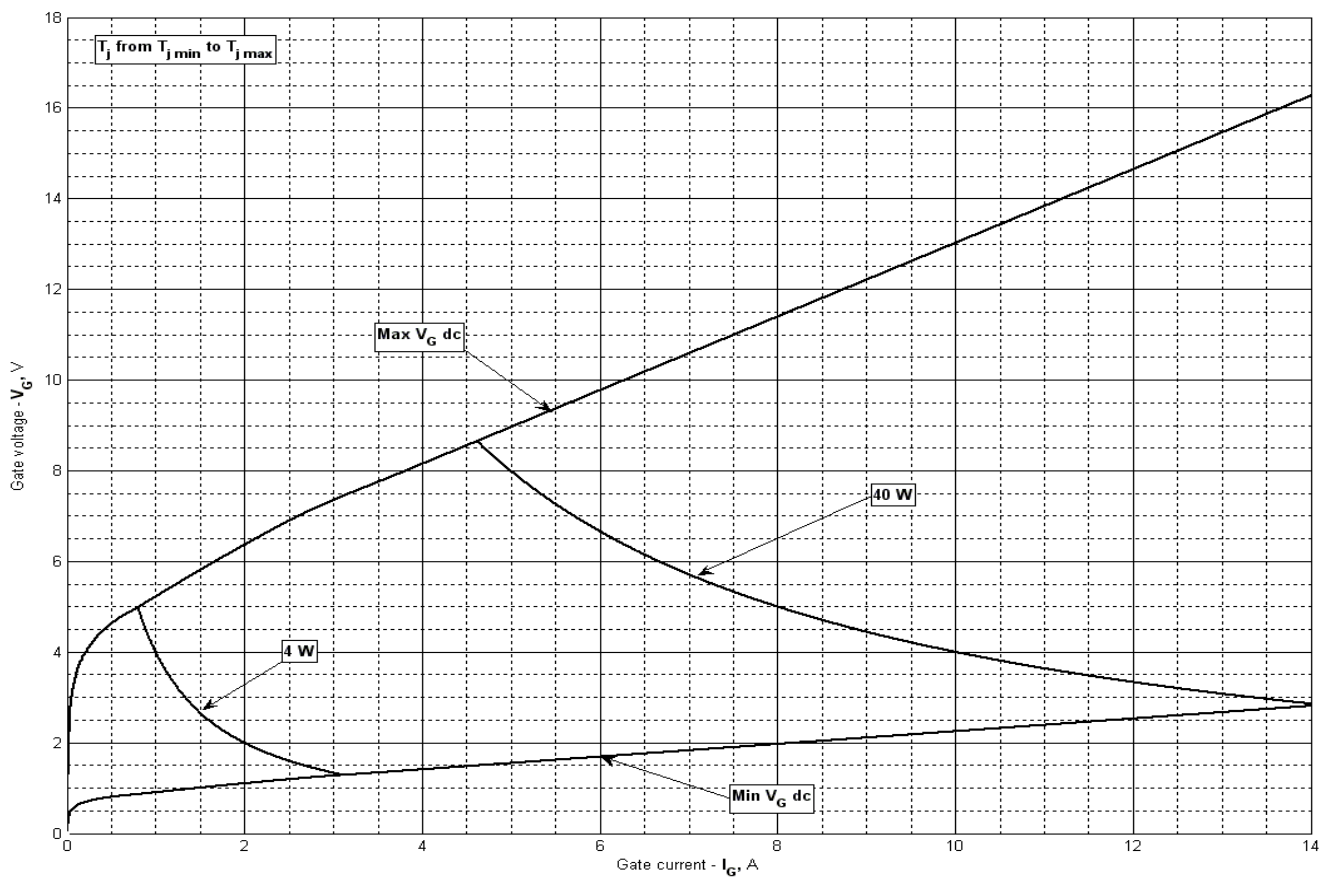


Рис. 4 – Вольт – амперная характеристика цепи управления.

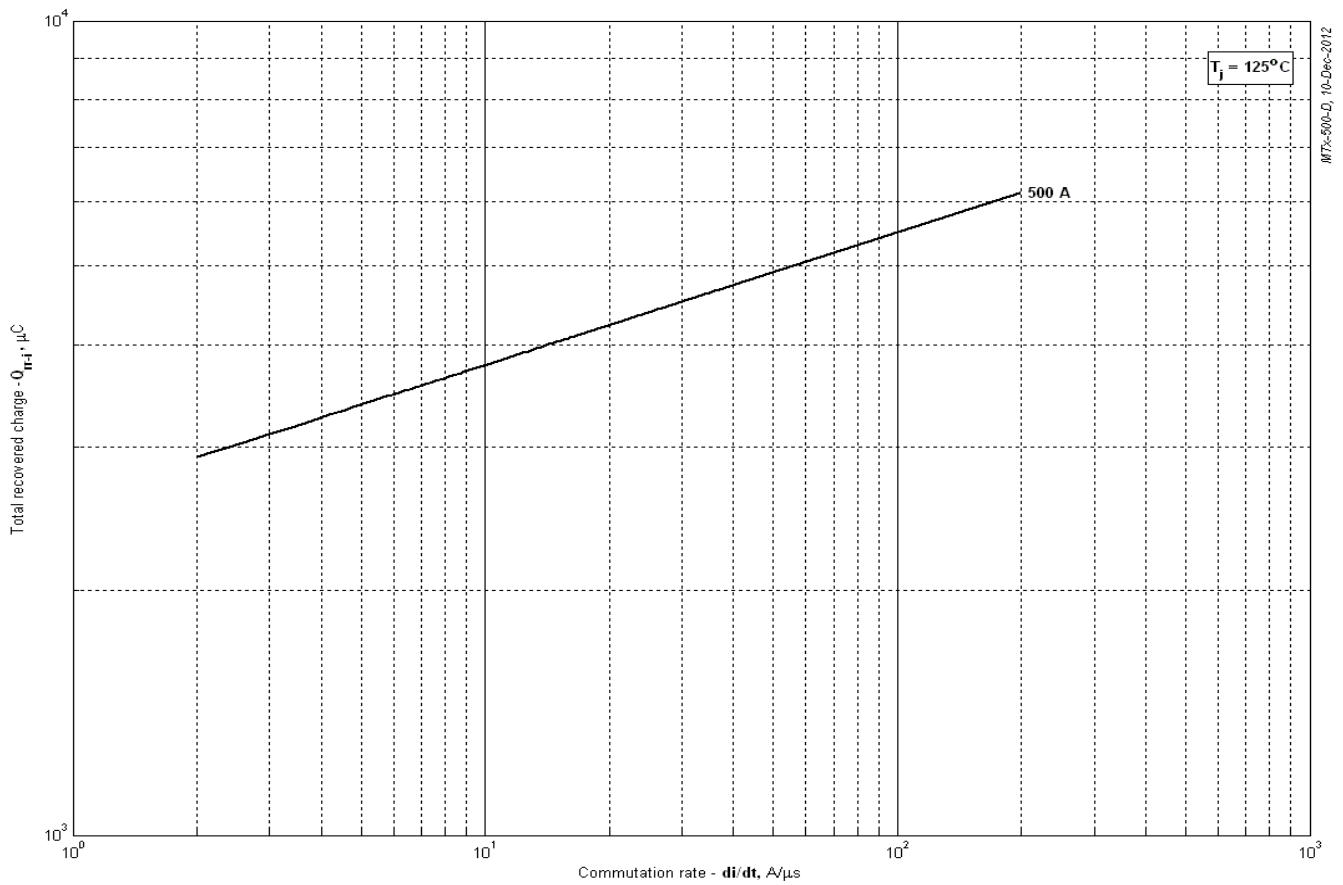


Рис. 5 – Максимальный интегральный заряд обратного восстановления, Q_{rr-i}

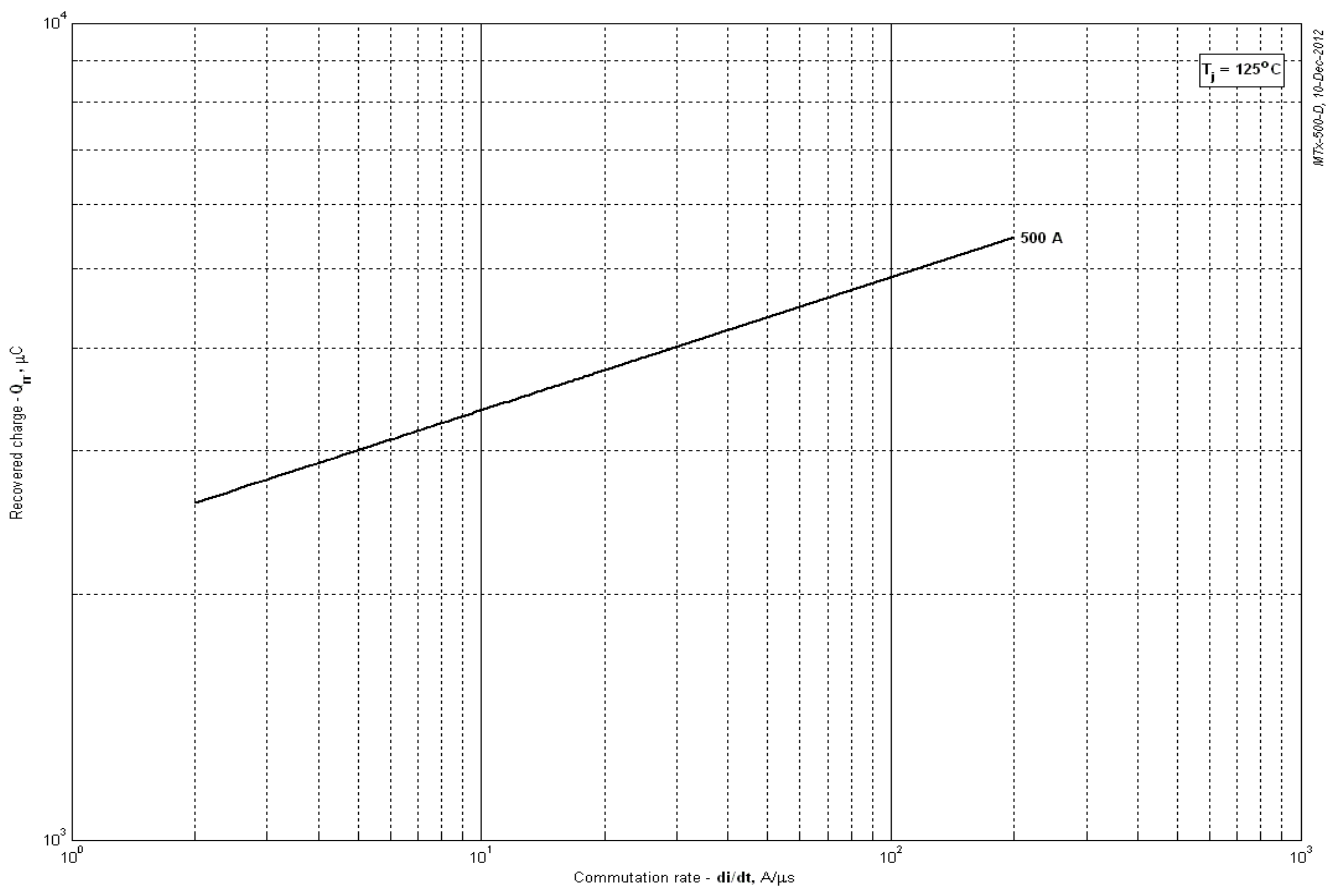


Рис. 6 – Максимальный заряд обратного восстановления, Q_{rr} (по ГОСТ 24461, хорда 25%)

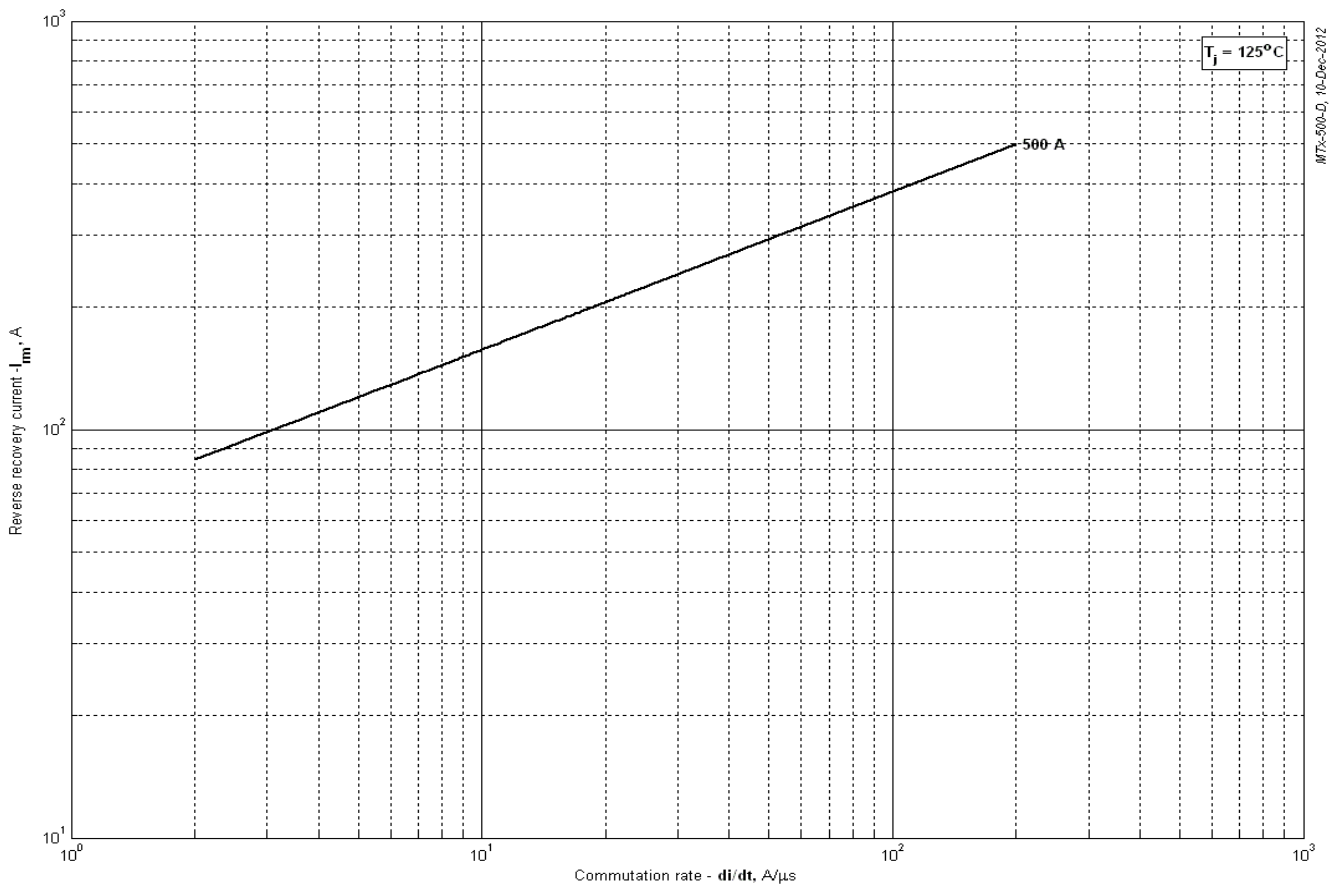


Рис. 7 – Максимальный ток обратного восстановления, I_{rr}

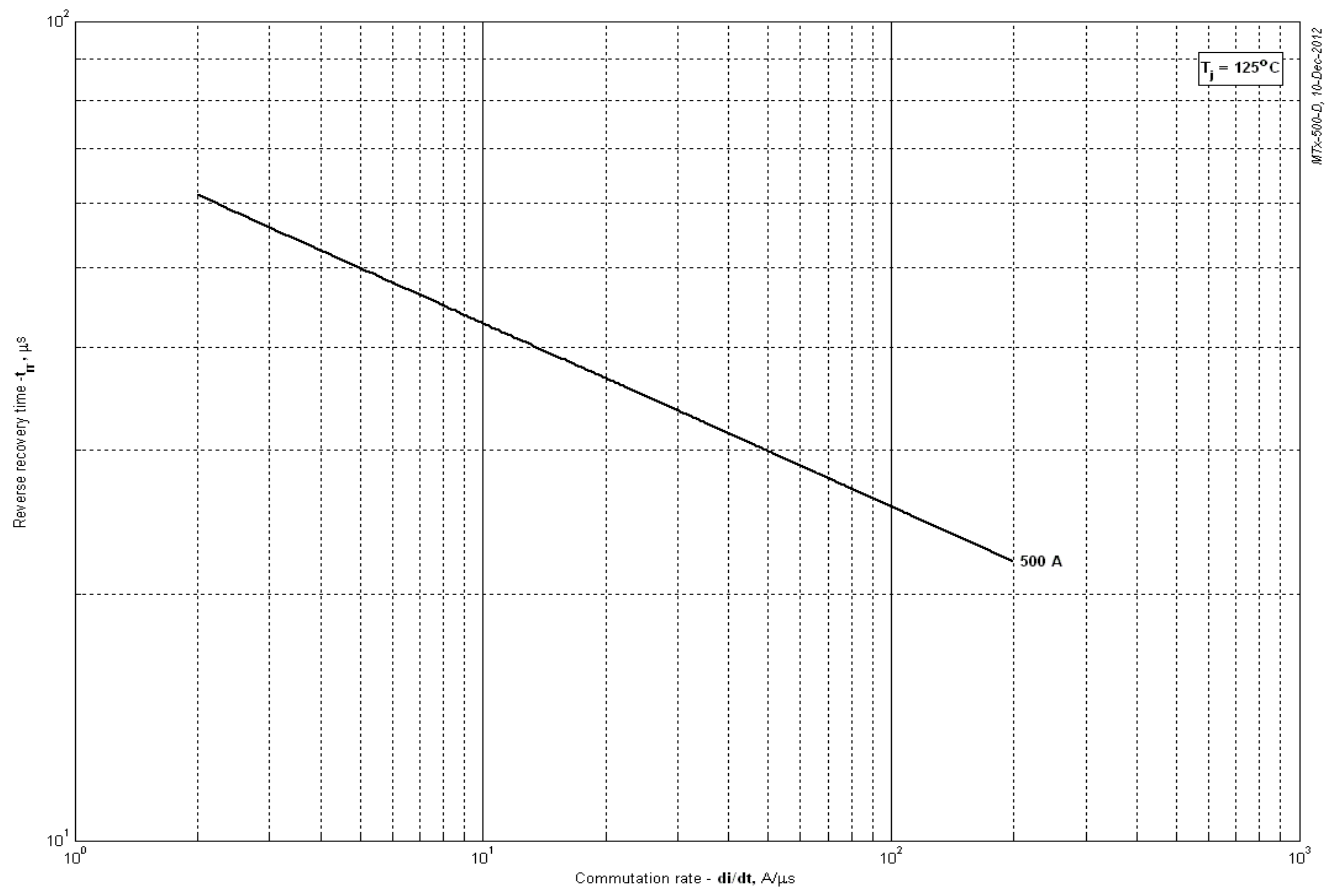


Рис. 8 – Максимальное время обратного восстановления, t_{rr} (по ГОСТ 24461, хорда 25%)

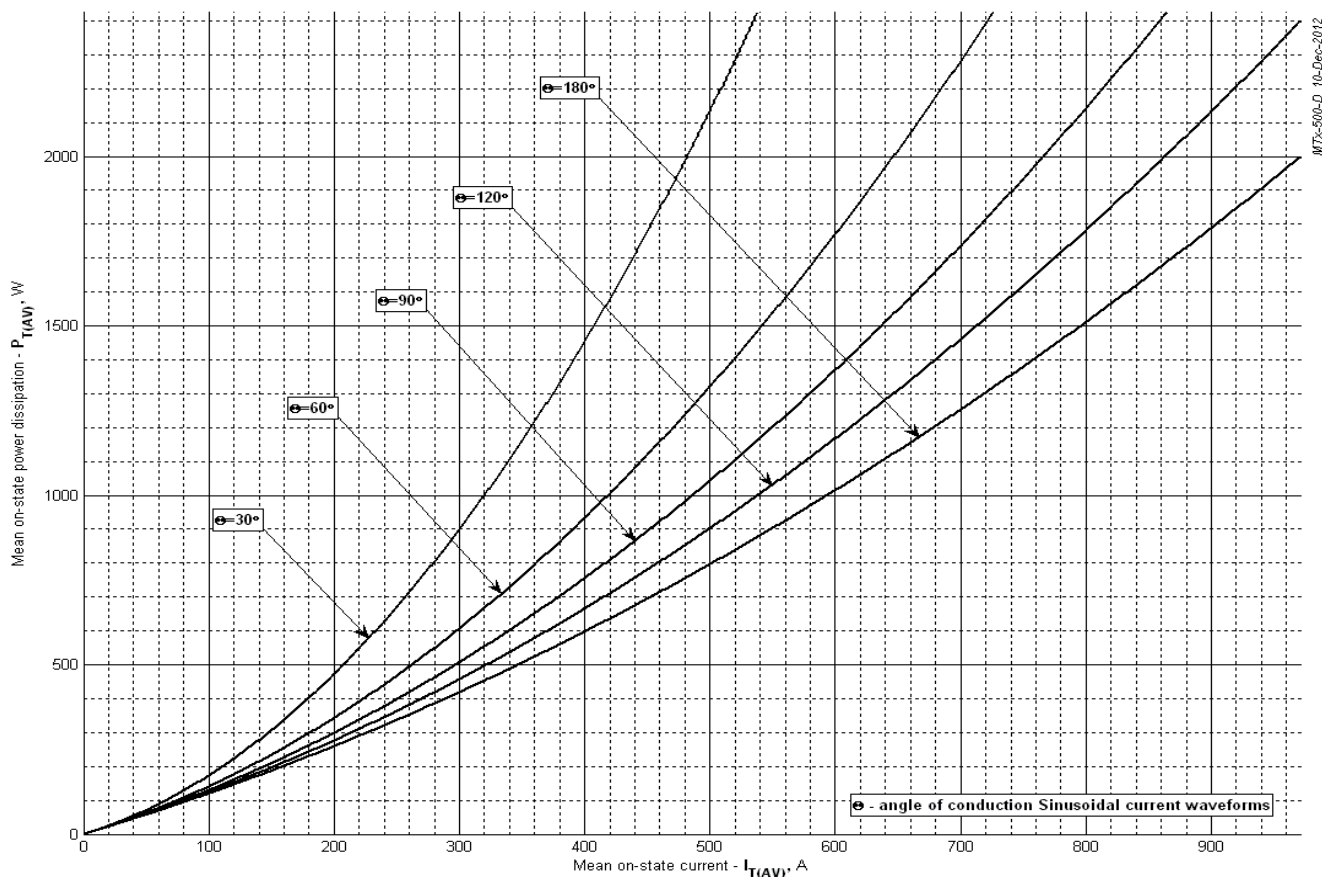


Рис. 9 – Зависимость потерь мощности P_{FAV} от среднего прямого тока I_{FAV} синусоидальной формы при различных углах проводимости ($f=50$ Гц, двустороннее охлаждение)

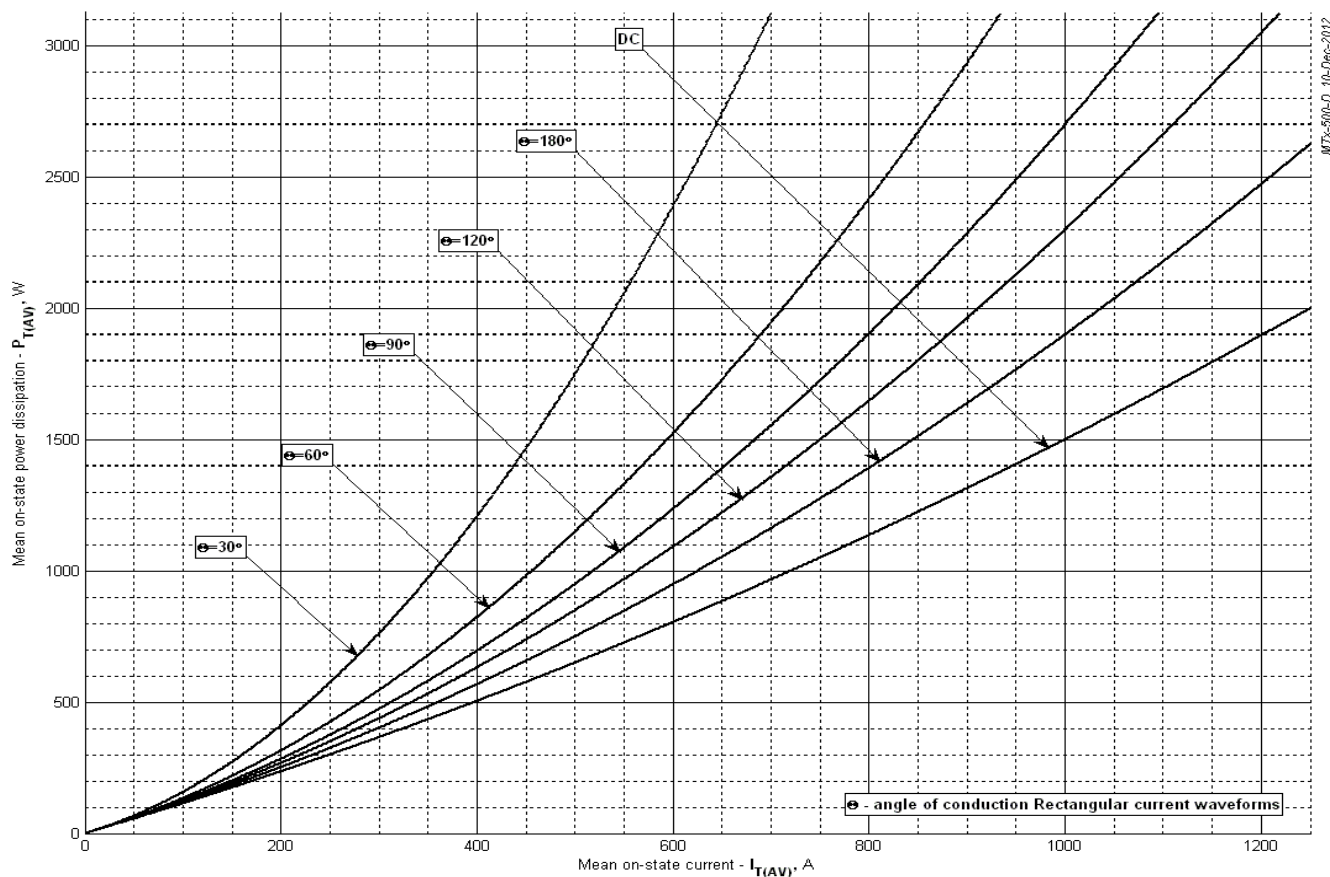


Рис. 10 – Зависимость потерь мощности P_{FAV} от среднего прямого тока I_{FAV} прямоугольной формы при различных углах проводимости ($f=50$ Гц, двустороннее охлаждение)

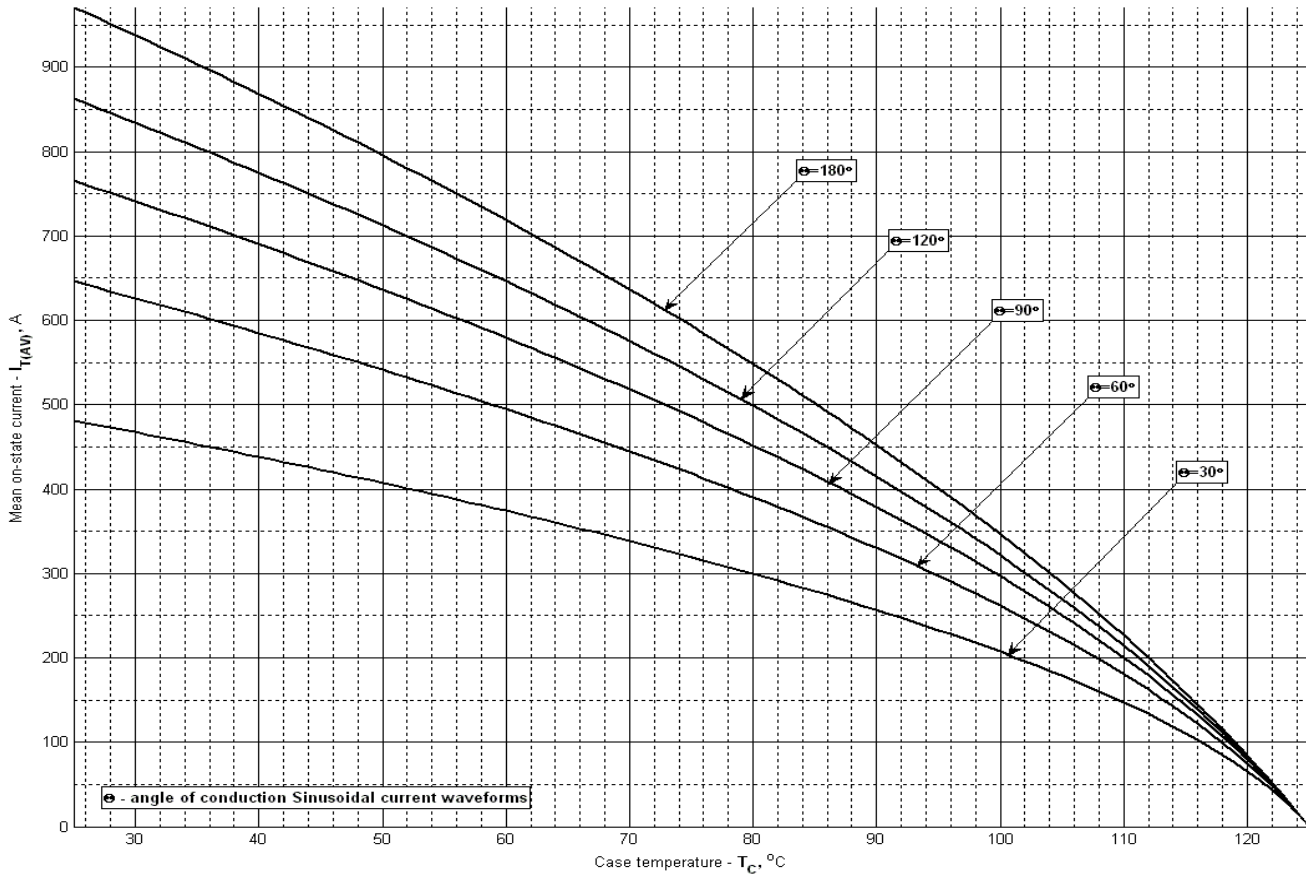


Рис. 11 - Зависимость среднего прямого тока I_{FAV} от температуры корпуса T_C для синусоидальной формы тока при различных углах проводимости ($f=50$ Гц, Двустороннее охлаждение)

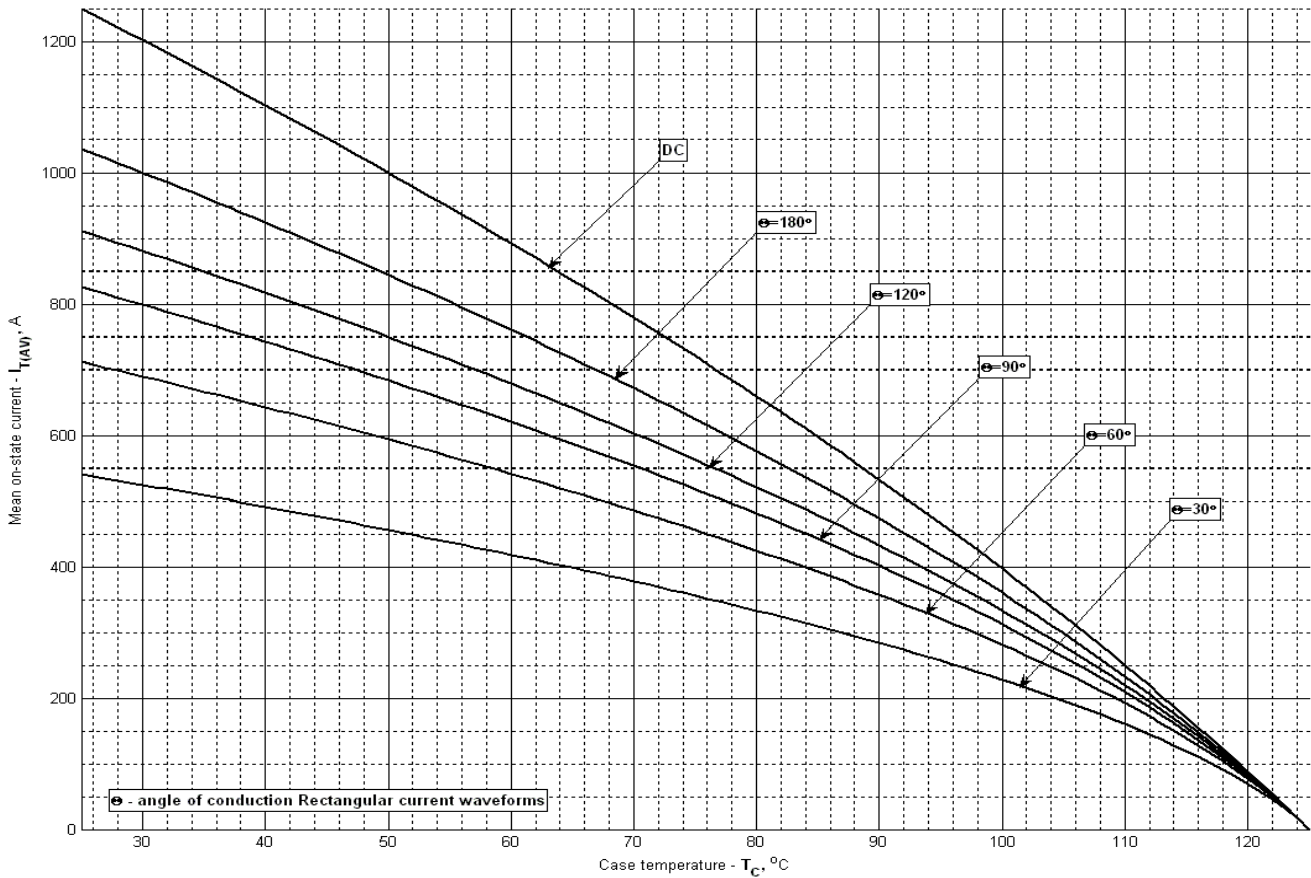


Рис. 12 – Зависимость среднего прямого тока I_{FAV} от температуры корпуса T_C для прямоугольной формы тока при различных углах проводимости ($f=50$ Гц, Двустороннее охлаждение)

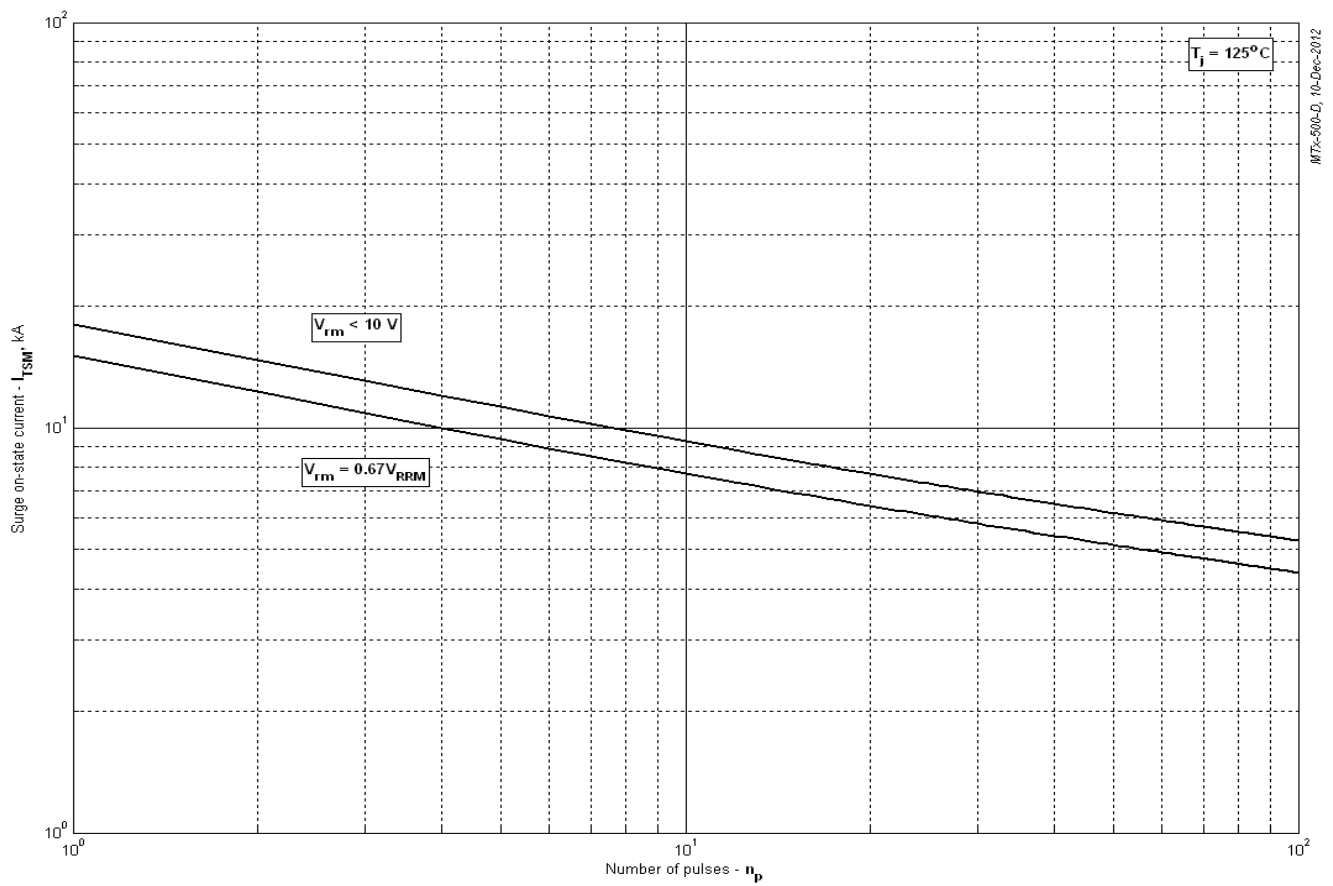


Рис. 13 – Максимальные ударные и I^2t характеристики

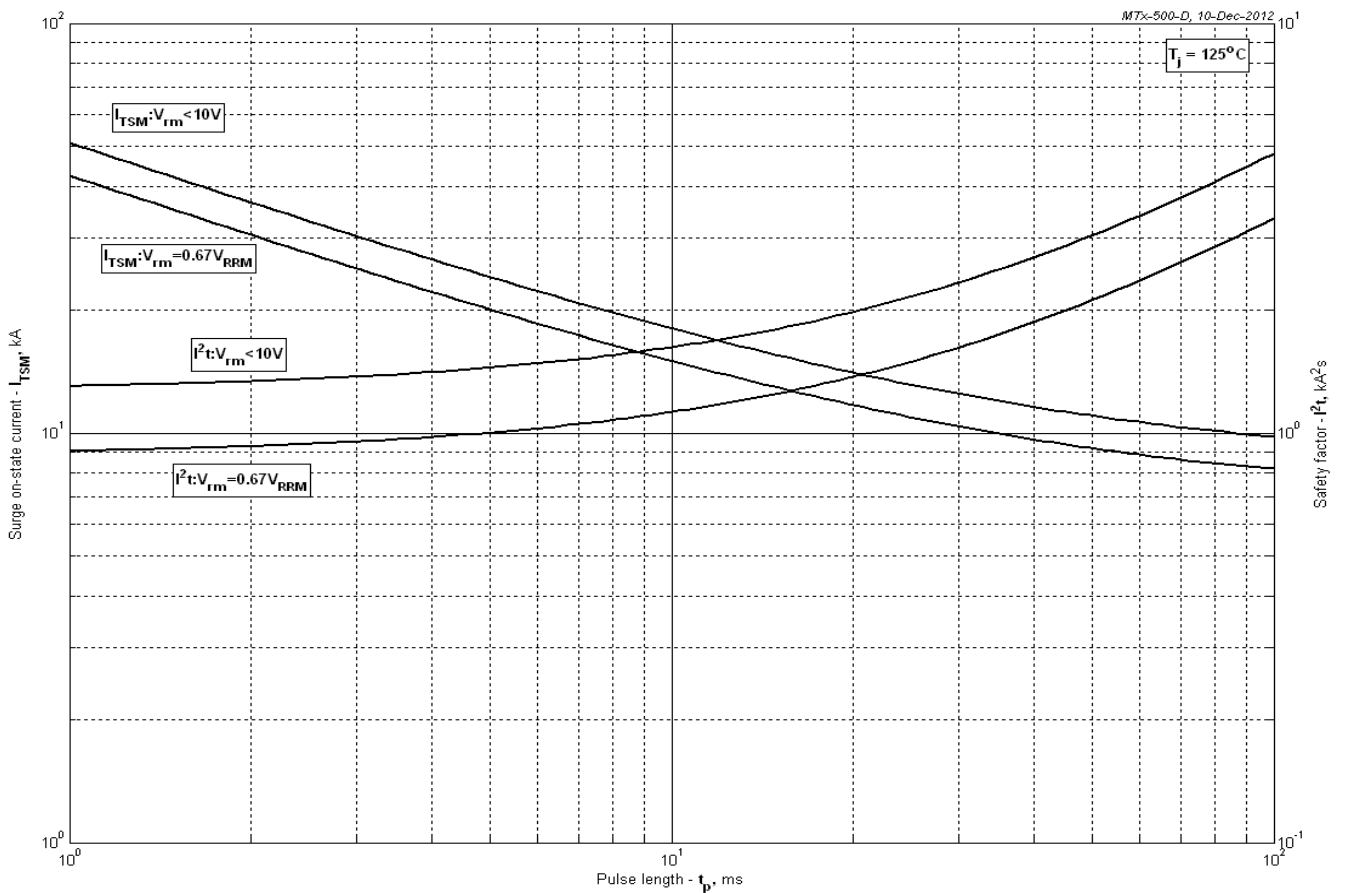


Fig 14 – Максимальные ударные характеристики